

## Лекция 3.

## ПОЛЕ СМЕЩЁННОГО ИСТОЧНИКА. ЭЛЕКТРИЧЕСКИЙ И МАГНИТНЫЙ ДИПОЛИ НАД МЕТАЛЛИЧЕСКОЙ ПЛОСКОСТЬЮ, СИММЕТРИЧНЫЙ ВИБРАТОР

## 3.1 Поле излучения смещённого источника

До сих пор мы вычисляли выражения полей излучения источников, сосредоточенных в одной точке, в качестве которой мы выбирали **начало координат**. Как изменятся эти выражения, если точечный источник расположен в **произвольной** точке пространства? На рис.5 источник находится в точке, определяемой вектором  $\mathbf{r}$ , исходящим из начала координат. Вектор  $\mathbf{R}$ , начинающийся в точке источника, и  $\mathbf{R}_0$ , исходящий из начала координат, направлены в одну и ту же точку на бесконечности. Выполнены соотношения:

$$\mathbf{R}_0 = \mathbf{r} + \mathbf{R}; \quad R_0 = R_0 e_R; \quad \mathbf{R} = R e_R; \quad (3-1)$$

Как это скажется на электрического поля излучения?

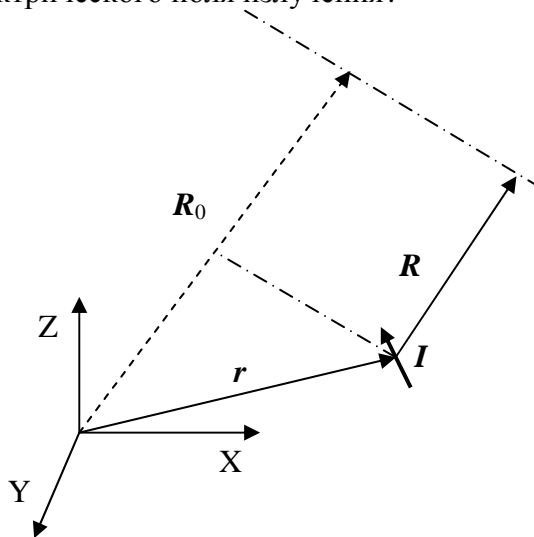


Рис.1. Источник в произвольной точке

Следующие вычисления показывают, что в дальней зоне добавится только фазовый множитель, зависящий от расположения источника.

$$\begin{aligned} R &= (\mathbf{R}, e_R) = (\mathbf{R}_0 - \mathbf{r}, e_R) = (\mathbf{R}_0, e_R) - (\mathbf{r}, e_R) = R_0 - (\mathbf{r}, e_R); \\ \frac{e^{-ikR}}{R} &= \frac{e^{-ikR}}{R_0 - (\mathbf{r}, e_R)} = \frac{e^{-ik(R_0 - (\mathbf{r}, e_R))}}{R_0(1 - (\mathbf{r}, e_R)/R_0)} \approx \\ &\approx \frac{e^{-ikR_0} e^{ik(\mathbf{r}, e_R)}}{R_0} (1 + (\mathbf{r}, e_R)/R_0) \approx \frac{e^{-ikR_0} e^{ik(\mathbf{r}, e_R)}}{R_0} = \frac{e^{-ikR_0}}{R_0} e^{ik(\mathbf{r}, e_R)}; \end{aligned} \quad (3-2)$$

Выпишем результирующее выражение для электрического поля от элементарных источников - электрического и магнитного диполей, помещённых в точку, вынесенную из начала координат.

$$\mathbf{E} = \frac{e^{-ikR_0}}{R_0} \left( W_0 C^e \left[ [\mathbf{e}_I^e, \mathbf{e}_R], \mathbf{e}_R \right] - C^m [\mathbf{e}_I^m, \mathbf{e}_R] \right) e^{ik(\mathbf{r}, \mathbf{e}_R)}; C^e = i \frac{I^e k l^e}{4\pi}; C^m = i \frac{I^m k l^m}{4\pi}; \quad (3-3)$$

Это выражение может быть использовано для вычисления поля излучения в дальней зоне нескольких источников, расположенных в разных точках, а также различающихся величиной и направлением токов. Для этого достаточно просуммировать векторы электрического поля. Рассмотрим несколько примеров.

### 3.2 Излучение электрического диполя над металлической плоскостью.

На рис. 2 показаны электрические (слева) и магнитные (справа), по-разному ориентированные в пространстве диполи.

Рассмотрим горизонтальный электрический диполь, ориентированный вдоль оси X, с током  $I$ , и расположенный на высоте  $h$  над идеально проводящей плоскостью, совпадающей с плоскостью XOY. Как известно, на поверхности проводящей плоскости выполнено граничное условие  $E_\tau = 0$ . Это условие автоматически выполнено в системе, состоящей из двух диполей, заданного и его зеркального изображения в плоскости металлического листа, причём, направление тока в зеркально отражённом диполе противоположно току в заданном диполе. Таким образом, влияние плоскости заменяется на влияние "отражённого" диполя.

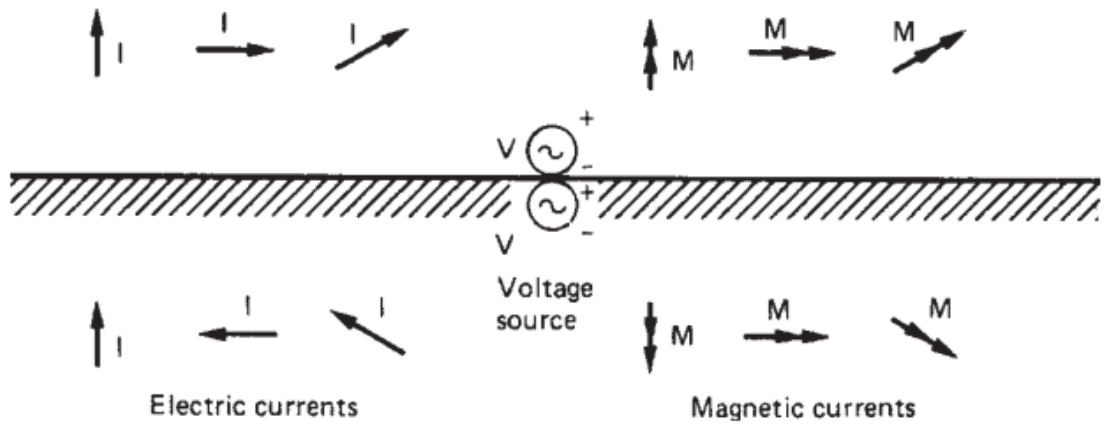


Рис. 2. Электрические и магнитные диполи и их отражения в металлической плоскости

Итак, чтобы рассчитать диаграмму направленности диполя над металлической плоскостью, достаточно рассчитать её для системы из двух таких диполей, и ограничиться направлениями в верхней полусфере.

Представим поле излучения электрического диполя в виде суммы двух слагаемых вида (3-3), положив в них  $I^m = 0$ ,  $\mathbf{r}_1 = h\mathbf{e}_z$ ,  $\mathbf{r}_2 = -h\mathbf{e}_z$ ,  $\mathbf{e}_{I1} = \mathbf{e}_x$ ,  $\mathbf{e}_{I2} = -\mathbf{e}_x$ ; Получим следующий результат.

$$\begin{aligned} \mathbf{E} &= \left( [\mathbf{e}_x, \mathbf{e}_R], \mathbf{e}_R \right] e^{ikh(\mathbf{e}_z, \mathbf{e}_R)} + [\mathbf{e}_x, \mathbf{e}_R], \mathbf{e}_R \left] e^{ikh(-\mathbf{e}_z, \mathbf{e}_R)} \right) W_0 C^e \frac{e^{-ikR_0}}{R_0} = \\ &= \left( e^{ikh(\mathbf{e}_z, \mathbf{e}_R)} - e^{-ikh(\mathbf{e}_z, \mathbf{e}_R)} \right) [\mathbf{e}_x, \mathbf{e}_R], \mathbf{e}_R \left] W_0 C^e \frac{e^{-ikR_0}}{R_0} = \\ &= -\sin(kh(\mathbf{e}_z, \mathbf{e}_R)) [\mathbf{e}_x, \mathbf{e}_R], \mathbf{e}_R \left] 2i W_0 C^e \frac{e^{-ikR_0}}{R_0}; \end{aligned} \quad (3-4)$$

Осталось вычислить скалярное и двойное векторное произведения (вычисляется по стандартной формуле векторной алгебры:  $[a, [b, c]] = b(a, c) - c(a, b)$ );

$$(e_z, e_R) = \cos \vartheta, \quad [[e_x, e_R], e_R] = -\cos \vartheta \cos \varphi e_\vartheta + \sin \varphi e_\varphi; \quad (3-5)$$

Окончательное выражение:

$$E = -2iW_0 C^e \frac{e^{-ikR_0}}{R_0} \sin(kh \cos \vartheta) (-\cos \vartheta \cos \varphi e_\vartheta + \sin \varphi e_\varphi); \quad (3-6)$$

**Упражнение 3.1.** Изобразите диаграмму направленности горизонтального электрического диполя над металлической плоскостью при  $h = \lambda/4, \lambda/2, \lambda$ . в плоскостях E- (XOZ) и H- (YOZ). Что произойдёт при  $h \Rightarrow 0$ ?

**Упражнение 3.2** Изобразите диаграмму направленности вертикального электрического диполя над плоскостью при тех же значениях высоты подвеса.

### 3.3 Излучение магнитного диполя над металлической плоскостью

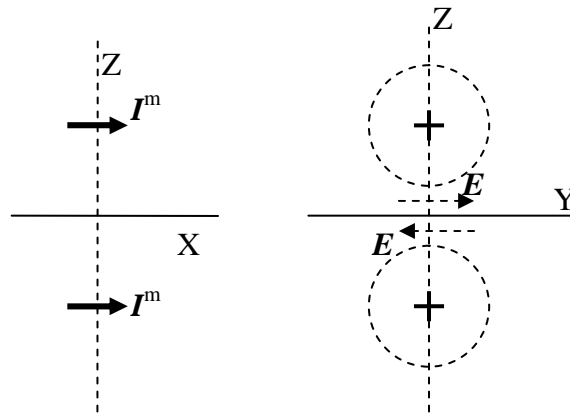


Рис. 3. Горизонтальный магнитный диполь над плоскостью

Этот пример аналогичен предыдущему, но ток магнитного диполя, являющегося изображением исходного магнитного диполя, совпадает по направлению с током исходного диполя. Это наглядно показано в правой части рис. 3 в сечении плоскостью YOZ. Электрическое поле циркулирует вокруг магнитного диполя, при этом касательные составляющие на поверхности металлической плоскости компенсируют друг друга при одинаковом направлении токов в диполях. Для вычисления электрического поля в формуле (3-3) нужно положить:

$$I^e = 0, r_1 = h e_z, r_2 = -h e_z, e_{I1} = e_{I2} = e_x;$$

В остальном, вычисления аналогичны вычислениям в предыдущем примере. Поле излучения магнитного диполя над металлической плоскостью:

$$E = -2C^m \frac{e^{-ikR_0}}{R_0} \cos(kh \cos \vartheta) (\sin \varphi e_\vartheta + \cos \vartheta \cos \varphi); \quad (3-7)$$

**Упражнение 3.3** Изобразите диаграмму направленности магнитного диполя над металлической плоскостью в E- и H- плоскостях при  $h = \lambda/4, \lambda/2, \lambda$ . Что произойдёт при  $h \Rightarrow 0$ ? Сравните предельное выражение с выражением поля одиночного магнитного диполя, ориентированного вдоль оси X.

### 3.4 Излучение вибратора конечной длины. Симметричный вибратор.

На рис. 4 показан симметричный вибратор длины  $2l$ , ориентированный вдоль оси Z.

Чтобы вычислить поле излучения и другие характеристики симметричного вибратора, нужно знать распределение тока вдоль вибратора. По распределению тока можно найти векторный потенциал в окружающем пространстве. Предполагаем, что вибратор образован идеально проводящими цилиндрами. Решение задачи будем основывать на выполнении граничных условий на боковой поверхности цилиндра  $E_r = 0$  :

$$A_z^e = \frac{1}{4\pi} \int_{-l}^l I_z(z') \frac{e^{-ikR}}{R} dz' e_z, \quad R = \sqrt{(z - z')^2 + a^2}, \quad (3-8)$$

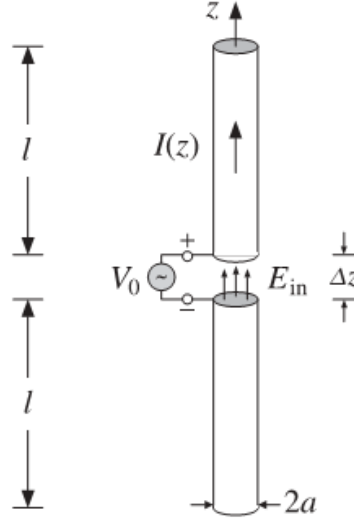


Рис. 4. Симметричный вибратор

Решаем задачу в цилиндрических координатах, связанных с вибратором радиуса  $a$ . Электрическое поле выражается через векторный потенциал по формуле:

$$\begin{aligned} \mathbf{E} &= -i\omega\mu\mathbf{A}^e + \frac{1}{i\omega\epsilon} \text{grad div}\mathbf{A}^e; \quad \mathbf{H} = \text{rot}\mathbf{A}^e; \\ E_z &= \frac{1}{i\omega\epsilon} \left( \frac{\partial^2 A_z^e}{\partial z^2} + k^2 A_z^e \right); \quad E_\rho = \frac{1}{i\omega\epsilon} \frac{\partial^2 A_z^e}{\partial \rho \partial z}; \end{aligned} \quad (3-9)$$

Дифференциальное уравнение для векторного потенциала вертикального вибратора получается из условия, что на боковой поверхности идеально проводящего вибратора касательные составляющие вектора  $\mathbf{E}$  равны нулю, а в зазоре равны величине стороннего поля.

$$E_{z/r=a} = \frac{1}{i\omega\epsilon} \left( \frac{d^2}{dz^2} + k^2 \right) A_z^e(z) = \begin{cases} 0, & \text{при } l > |z| > \Delta z/2 \\ E^e, & \text{при } |z| \leq \Delta z/2 \end{cases} \quad (3-10)$$

Общее решение этого уравнения при величине зазора, стремящейся к нулю, имеет вид:

$$A_z^e = C_1 \cos kz + C_2 \sin kz - \frac{iV_0}{2W_0} \sin k|z|, \quad (3-11)$$

Здесь  $V_0$  напряжение в зазоре. Если подставить в это решение выражение векторного потенциала, как интеграла от распределения тока по вибратору, получим интегральное уравнение Галлена:

$$\begin{aligned} \frac{1}{4\pi} \int_{-l}^l I_z(z') \frac{e^{-ikR}}{R} dz' &= C_1 \cos kz + C_2 \sin kz - \frac{iV_0}{2W_0} \sin k|z|. \\ I_z(\pm l) &= 0; \quad -l \leq z \leq l \quad R = \sqrt{(z - z')^2 + a^2}; \end{aligned} \quad (3-12)$$

Это интегральное уравнение первого рода относительно неизвестного распределения тока. Коэффициенты  $C_1$  и  $C_2$  определяются из условия равенства тока нулю на концах вибратора. В случае симметричного вибратора с одинаковыми плечами, распределение тока также симметрично и коэффициент при синусе обращается в нуль.

### 3.5 Современный метод решения интегрального уравнения

Как сейчас решают уравнения такого типа? Естественно приблизить интеграл интегральной суммой. Для этого нужно разбить интервал интегрирования на  $N$  частей:  $-l = z'_0 < z'_1 < \dots < z'_m < \dots < z'_N = l$ ;  $-l = z_0 < z_1 < \dots < z_m < \dots < z_N = l$ ;  
При этом интегральное уравнение превратится в систему линейных алгебраических уравнений:

$$\frac{\Delta z'_m}{4\pi} \sum_{n=0}^N I_n \frac{e^{-ikR_{nm}}}{R_{nm}} \approx C_1 \cos kz_n + C_2 \sin kz_n - \frac{iV_0}{2W_0} \sin k|z_n|.$$

$$I_m = I_z(z'_m); \quad I_0 = I_N = 0; \quad R_{nm} = \sqrt{(z_n - z'_m)^2 + a^2};$$

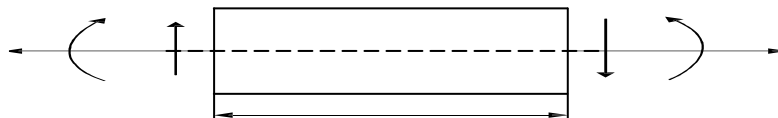
Сейчас даже на персональных компьютерах нетрудно решить такую систему с матрицей  $R_{nm}$  даже тысячного порядка.

Этот метод решения интегральных уравнений имеет название "**метод моментов**". Метод моментов является корневым методом широкого комплекса методов решения интегральных и дифференциальных уравнений в самых разных областях науки и техники, и широко используется во всём мире. Но родился этот метод в России в 1911 году в публикации механика-судостроителя и математика Ивана Григорьевича Бубнова.



Примерно в это же время область применения метода была существенно расширена российским механиком Борисом Григорьевичем Галёркиным. Метод (Бубнова-Галёркина) стал использоваться для решения задач сначала при строительстве мостов, затем и других задач механики Степаном Прокофьевичем Тимошенко, крупнейшим учёным 20 века в области деформируемых твёрдых тел, который после революции эмигрировал за границу и дал толчок развитию методов решения задач механики за рубежом. Когда-то и Россия была родоначальником методов.

Почему метод называется "методом моментов"? При изгибе стержней на элемент стержня действует изгибающий момент, величину которого нужно знать при решении задач механики.



Стали решать задачи в самых разных областях науки и техники, а название сохранилось.

### Приближённое решение

Но мы займёмся приближённым аналитическим решением. Для его получения будем предполагать, что вибратор тонкий. В этом случае минимальное значение  $R=a$ , достигается, когда  $z=z'$ , но очень быстро  $R$  возрастает при смещении точки истока. Поэтому наибольший вклад в интеграл будут давать те значения  $I_z(z')$ , которые близки к значению в точке наблюдения  $I_z(z)$ . Чтобы сделать это явным, преобразуем интеграл, выделив главную часть ядра интегрального уравнения  $\frac{e^{-ikR}}{R}$ . (Подробно аналитические

выкладки приведены в УМК по антеннам и СВЧ)

$$\int_{-l}^l I_z(z') \frac{e^{-ikR(z,z')}}{R(z,z')} dz' \approx I_z(z) \left( 2 \ln \frac{2l}{a} \right), \quad R = \sqrt{(z-z')^2 + a^2}; \quad (3-13)$$

Выпишем полученное упрощённое выражение интеграла

$$\frac{1}{4\pi} \int_{-l}^l I_z(z') \frac{e^{-ikR}}{R} dz' = \frac{\Omega}{4\pi} I_z(z) + F(I_z, z); \quad \Omega = 2 \ln \frac{2l}{a}; \quad (3-14)$$

В этом интеграле параметр  $\Omega$  считается большим, если радиус вибратора много меньше его длины. Более строгое вычисление этого параметра приводит к выражению:

$\Omega = 2 \left( \ln \left( \frac{l}{a} \right) - 1 \right)$ . В (3-14) введено также обозначение слагаемого, содержащего

интегральные операторы, которым можно пренебречь по сравнению с главным:

С учётом упрощения интегральное уравнение принимает вид, в котором главный член – оператор умножения на большой параметр, а интегралы сосредоточены в асимптотически малом члене, который в нулевом приближении при решении мы отбрасываем:

$$\frac{\Omega}{4\pi} I_z(z) = C_1 \cos kz + C_2 \sin kz - \frac{iV_0}{2W_0} \sin k|z|, \quad I_z(\pm l) = 0. \quad (3-15)$$

### 3.5. Распределение тока в симметричном вибраторе

Выпишем главный член решения интегрального уравнения  $I_z(z)$ , выразив его через ток в точке питания  $I_z(0)$  и «ток в пучности»  $I_{\max}$

$$I_z(z) \approx \frac{2\pi i V_0}{W_0 \Omega} (\operatorname{tg} kl \cos kz - \sin k|z|) = \frac{2\pi i V_0}{W_0 \Omega} \frac{\sin k(l-|z|)}{\cos kl};$$

$$I_z(0) = i \frac{2\pi}{W_0 \Omega} V_0 \operatorname{tg} kl = i \frac{V_0}{W_e} \operatorname{tg} kl; \quad (3-16)$$

$$W_e = \frac{W_0 \Omega}{2\pi} \approx \frac{120\pi * 2 (\ln(l/a) - 1)}{2\pi} = 120 \left( \ln \frac{l}{a} - 1 \right);$$

$$I_z(z) = I_z(0) \frac{\sin k(l-|z|)}{\sin kl}; \quad I_n = \frac{I_z(0)}{\sin kl}; \quad I_z(z) = I_n \sin k(l-|z|);$$

Выражение тока в точке питания  $I_z(0) = i \frac{V_0}{W_e} \operatorname{tg} kl$ ; имеет такую же форму, как выражение для тока на входе отрезка длинной линии холостого хода с эквивалентным волновым сопротивлением  $W_e = \frac{W_0 \Omega}{2\pi} \approx 120 \left( \ln \frac{l}{a} - 1 \right)$ ;

Эта аналогия положена в основу инженерных рассуждений относительно характеристик симметричного вибратора. На низких частотах  $kl$  мало, и проводимость вибратора имеет емкостной характер.

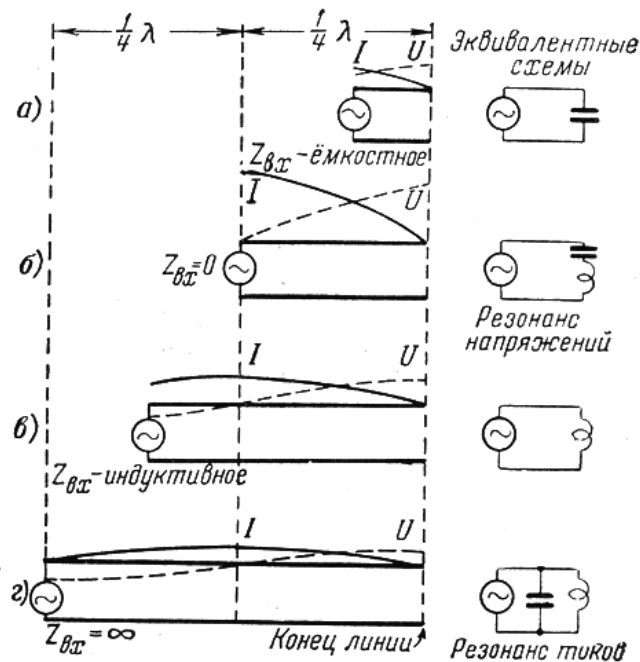


Рис.5 Распределение тока в отрезке линии передачи холостого хода

### 3.7. Распределение заряда в симметричном вибраторе

Определение распределения заряда основано на решении уравнения непрерывности электрического заряда:

$$\frac{dI}{dz} + i\omega Q = 0 \quad (3-17)$$

$$\begin{aligned} Q &= \frac{1}{i\omega} \frac{dI(z)}{dz} = \frac{I_n}{i\omega} \frac{d \sin k(l-|z|)}{dz} = \frac{I_n}{i\omega} \frac{d \sin k(l-|z|)}{dk(l-|z|)} \frac{dk(l-|z|)}{dz} = \\ &= -\frac{kI_n}{i\omega} \cos k(l-|z|) \eta(z); \quad \eta(z) = \begin{cases} 1, & z > 0 \\ -1, & z < 0 \end{cases}; \quad \eta(z) = \frac{d|z|}{dz}; \end{aligned} \quad (3-18)$$

### 3.8. Диаграмма направленности симметричного вибратора

Определение диаграммы направленности базируется на интегрировании выражения поля электрического диполя с меняющимся вдоль вибратора током:

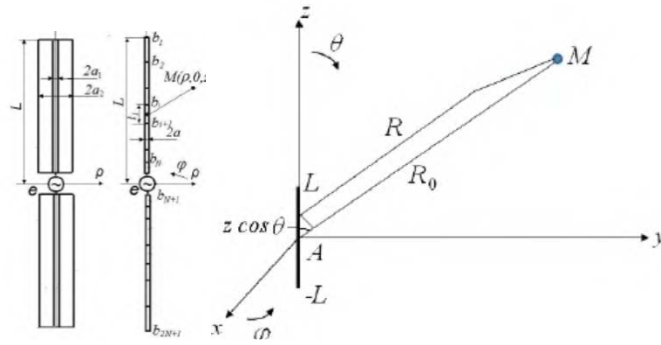


Рис.6

$$E_{\vartheta} = \frac{iI_n^e}{4\pi} W_0 \sin \vartheta \int_{-l}^l \sin k(l-|z|) \frac{e^{-ikR}}{R} k dz \approx \frac{iI_n^e}{4\pi} W_0 \frac{e^{-ikR_0}}{R_0} \sin \vartheta \int_{-l}^l \sin k(l-|z|) e^{ikz \cos \vartheta} k dz; \quad (3-19)$$

Использовано приближённое выражение  $R$  в дальней зоне.

$$R = \sqrt{R_0^2 - 2R_0 z \cos \vartheta + z^2} = R_0 \sqrt{1 - 2 \frac{z \cos \vartheta}{R_0} + \frac{z^2}{R_0^2}} \approx R_0 \left( 1 - \frac{z \cos \vartheta}{R_0} \right) = R_0 - z \cos \vartheta \quad (3-20)$$

Вычисление интеграла в (3-19) приводит к выражению поля излучения вертикального симметричного вибратора. Проведём цепочку вычислений интеграла.

$$Int \equiv \sin \vartheta \int_{-l}^l \sin k(l-|z|) e^{ikz \cos \vartheta} k dz = 2 \sin \vartheta \int_0^l \sin(k(l-z)) \cos(kz \cos \vartheta) k dz; \quad (3-21)$$

Произведение синуса и косинуса заменяем с помощью известной тригонометрической формулы

$$2 \sin \frac{\alpha + \beta}{2} \cos \frac{\alpha - \beta}{2} = \sin \alpha + \sin \beta; \alpha = kl - kz(1 - \cos \vartheta), \beta = kl - kz(1 + \cos \vartheta) \quad (3-22)$$

Продолжаем вычисление интеграла:

$$\sin \vartheta \left( \frac{-1}{1 - \cos \vartheta} \int_{kl}^{kl \cos \vartheta} \sin \alpha d\alpha + \frac{-1}{1 - \cos \vartheta} \int_{kl}^{-kl \cos \vartheta} \sin \beta d\beta \right) = 2 \sin \vartheta \frac{\cos(kl \cos \vartheta) - \cos(kl)}{1 - (\cos \vartheta)^2}; \quad (3-23)$$

Окончательно получаем:

$$\mathbf{E} = E_{\vartheta} \mathbf{e}_{\vartheta} = \frac{2iI_n W_0}{4\pi} \frac{e^{-ikR_0}}{R_0} \frac{\cos(kl \cos \vartheta) - \cos(kl)}{\sin \vartheta} \mathbf{e}_{\vartheta}; \quad (3-24)$$

$$\mathbf{H} = \frac{1}{W_0} [\mathbf{e}_R, \mathbf{E}] = \frac{E_{\vartheta}}{W_0} [\mathbf{e}_R, \mathbf{e}_{\vartheta}] = \frac{E_{\vartheta}}{W_0} \mathbf{e}_{\varphi}; \quad H_{\varphi} = \frac{E_{\vartheta}}{W_0};$$

Итак, простейшее выражение для диаграммы направленности симметричного вибратора с "электрической" длиной плеча  $kl$  имеет следующий вид:

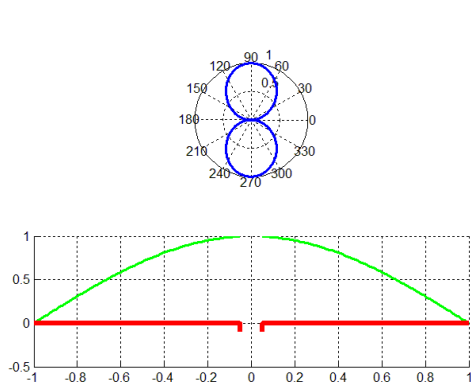
$$F(\vartheta, \varphi) = \frac{\cos(kl \cos \vartheta) - \cos(kl)}{\sin \vartheta}; \quad (3-24_{-})$$

Малый симметричный вибратор можно считать диполем Герца длины  $2l$  с эквивалентным током  $I(0)/2$ .

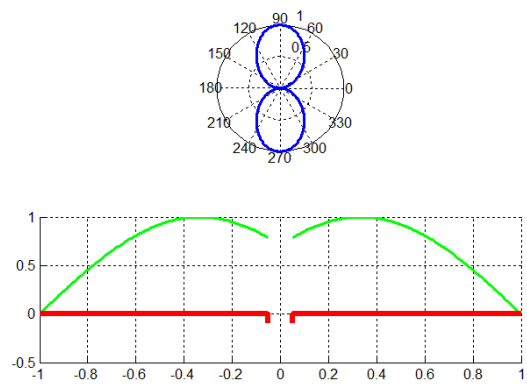
**Сопоставление распределения тока по вибратору и его диаграммы направленности:**



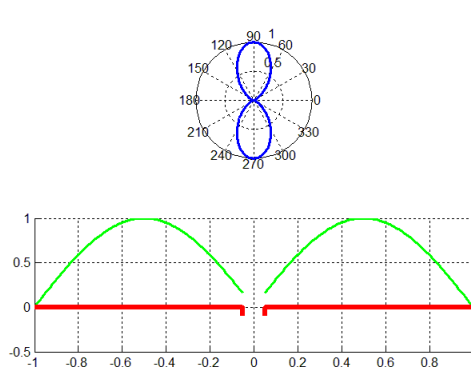
**$kl=\pi/2$  КНД=2.15 дБ**



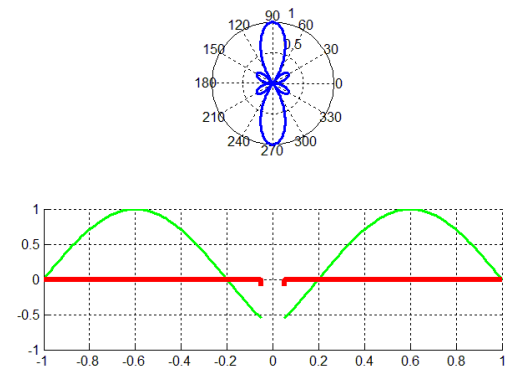
**$kl=3\pi/4$  КНД=2.75 дБ**



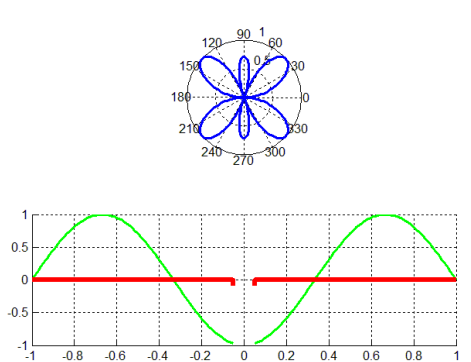
**$kl=\pi$  КНД=3.82 дБ**



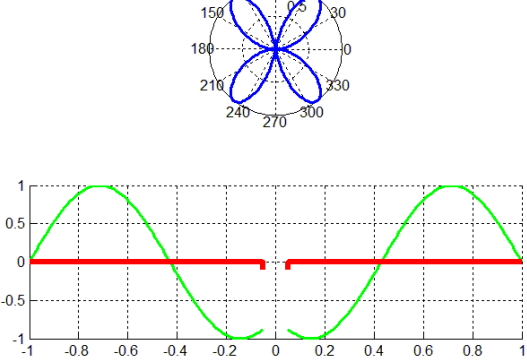
**$kl=5\pi/4$  КНД=5.16 дБ**



**$kl=3\pi/2$  КНД=3.47 дБ**



**$kl=7\pi/4$  КНД=3.25 дБ**



$$kl=2\pi \quad \text{КНД}=4.03 \text{ дБ}$$

$$kl=9\pi/4 \quad \text{КНД}=4.87 \text{ дБ}$$

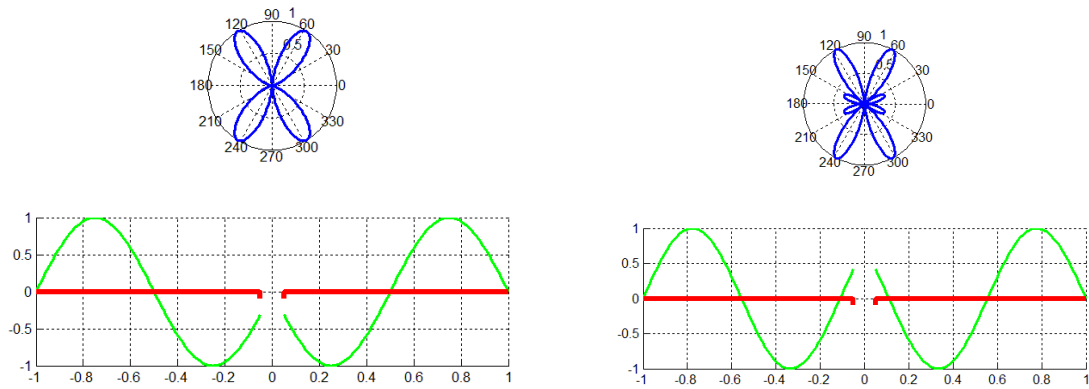


Рис. 7. Изменение диаграмм направленности симметричного вибратора в зависимости от изменения его длины

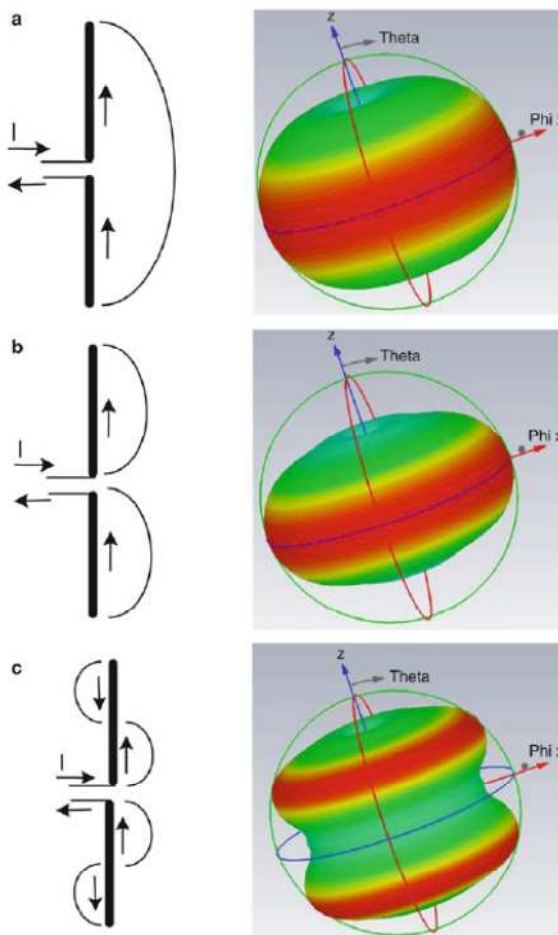


Рис. 8

### Упражнение 3-3.

Вычислите и постройте по формуле (3-24\_) диаграмму направленности вибратора, с длиной плеча  $1.5\lambda$ ,  $2\lambda$ ,  $2.5\lambda$ . Вычислите величины КНД для этих вибраторов